

## ФИЛЬТРАЦИЯ ВОЛЬТАМПЕРОМЕТРИЧЕСКИХ СИГНАЛОВ ПРИ ПОМОЩИ ВЕЙВЛЕТ-ПРЕОБРАЗОВАНИЯ

А.Г. Кан, С.В. Романенко\*

Томский государственный университет систем управления и радиоэлектроники

\*Томский политехнический университет

E-mail: adf\_trash@mail.ru, svr@tpu.ru

*Показана возможность использования аппарата вейвлет-преобразования для обработки сигналов инверсионной вольтамперометрии с целью выделения полезного сигнала на фоне остаточного тока и высокочастотных помех.*

Регистрограмма в инверсионной вольтамперометрии (ИВ) представляет собой сложную вольтамперную кривую, состоящую из совокупности остаточного тока, полезного сигнала в виде последовательности пиков и высокочастотного шума. Высокочастотные помехи практически всегда удается подавить с помощью методов сглаживания [1–5], но основные трудности при анализе вольтамперных кривых связаны с наличием в сигнале остаточного тока, нередко соизмеримого по амплитуде с полезной составляющей тока. Форма остаточного тока плохо воспроизводится и, так же, как и полезный сигнал, зависит от экспериментальных параметров и состояния электрода. Это осложняет задачу автоматического анализа вольтамперных кривых традиционными методами и требует наличие человека-эксперта, способного оценить правильность автоматизированной обработки исходных данных или провести выделение полезного сигнала вручную. Однако задача вполне решается с использованием компьютерных методов обработки на основе вейвлет-преобразования.

Одним из традиционных методов анализа и обработки сигналов является преобразование Фурье [6, 7]. Оно позволяет рассматривать сигналы в частотном представлении, но информация о временных особенностях сигнала (локализация тех или иных частотных составляющих по времени) приобретает неявный вид, «размываясь» по всему спектру. С другой стороны, простое временное представление сигнала не содержит в явном виде информации о его спектре. Но сигналы, имеющие строгую локализацию во временной или частотной области, не свойственны природе. Реальный сигнал имеет особенности, проявляющие себя определенным образом и во временной, и в частотной областях одновременно, и для их эффективного анализа необходимо комплексное рассмотрение частотных и временных характеристик. Необходимыми свойствами обладает вейвлет-преобразование [8–11]. В отличие от преобразования Фурье, где базисными функциями являются синус и косинус, определенные на всей временной оси и имеющие строгую локализацию в частотной области, вейвлет-преобразование использует в качестве базиса функции, имеющие определенную локализацию как по частоте, так и по времени. Эти базисные функции могут быть различными в пределах налагаемых на них ограничений [8]

и выбираются в зависимости от свойств полезной составляющей анализируемого сигнала. Результатом вейвлет-преобразования является поверхность, характеризующая наличие в сигнале составляющих в зависимости от времени и частоты.

Подбор базисных функций для использования в вейвлет-преобразовании осуществляется таким образом, чтобы отношение степени их локализации во временной и частотной областях согласовывалось с аналогичными параметрами анализируемого сигнала. Во многих случаях форма базисной функции повторяет форму простейшего элемента полезной составляющей при условии соблюдения требуемых ограничений (ограниченность во временной области, нулевое среднее значение). Результат вейвлет-преобразования в таком случае является наиболее информативным. Различные составляющие сигнала, разрешение которых во временной либо частотной областях представлялось затруднительным, могут быть достаточно обособлены на поверхности вейвлет-преобразования, что позволяет произвести избирательное удаление из сигнала ненужной информации.

Несмотря на сложную зависимость формы остаточного тока от параметров опыта, вейвлет-образ кривых остаточного тока имеет некоторые характерные особенности. Чтобы их выделить для последующего использования в алгоритме автоматической фильтрации, была произведена обработка серии экспериментальных ИВ-кривых, полученных на компьютеризованном вольтамперометрическом анализаторе ТА-2 (ООО «НПП Техноаналит», г. Томск).

Как видно из рис. 1, вейвлет-образ кривых остаточного тока характеризуется наличием значительных по амплитуде низкочастотных выбросов с периодом от 5 до 50 % от продолжительности сигнала, локализованных, преимущественно, вблизи краев поверхности. Кроме того, на поверхности вейвлет-преобразования отчетливо видны высокочастотные колебания с периодом менее 0,2 % от продолжительности сигнала. Таким образом, данная информация позволяет создать фильтр, позволяющий удалять из сигнала большую часть кривой остаточного тока. Для повышения чувствительности метода к обнаружению пиков производится дифференцирование анализируемого сигнала. Это

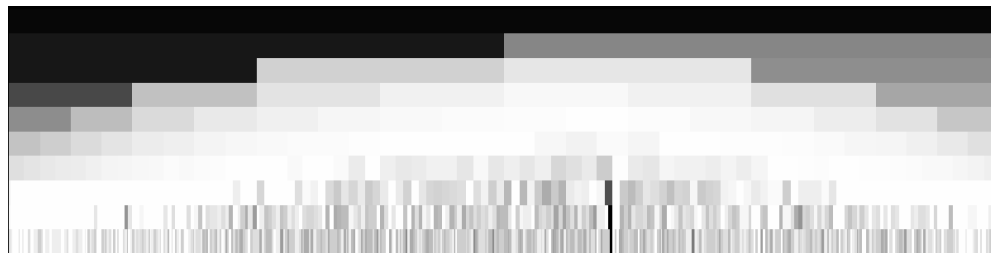


Рис. 1. Результат вейвлет-преобразования кривой остаточного тока

приводит к соответствию между формами полезного сигнала и выбранной базисной функцией вейвлет-преобразования, в качестве которой используется первая производная пика Гаусса. После обработки производится интегрирование полученного сигнала. Для повышения эффективности вместо дискретного вейвлет-преобразования, использованного для предварительного исследования характеристик сигнала, применяется непрерывное вейвлет-преобразование [12].

Процесс фильтрации на основе вейвлет-преобразования эффективно подавляет высокочастотные шумы исходного сигнала и практически полностью — кривую остаточного тока. Однако, для всесторонней оценки возможностей алгоритма необходимо также оценить искажения, который он вносит в форму полезного сигнала, и зависимость искажений от параметров полезного сигнала [13, 14].

Для оценки вносимых искажений была использована следующая методика: полезный сигнал создается искусственно и добавляется к реальному сигналу кривой остаточного тока на ртутно-пленочном электроде (скорость линейной развертки потенциала 20 мВ/с). Это дает возможность производить объективную оценку эффективности алгоритма фильтрации путем сравнения конечного результата с достоверно известным полезным сигналом.

Как показано в работе [15], сигналы многих металлов в ИВ на ртутно-пленочном электроде могут быть описаны функцией Гаусса. Ширина пика кривой варьировалась в пределах от 0,05 до 0,09 от полной ширины сигнала, а высота — от 0,02 до 0,1 от полного размаха сигнала по току. При этом производилось сравнение высоты пика в обработанном сигнале и идеального искусственного пика Гаусса.

Как видно из рис. 2, изменение амплитуды обработанного сигнала по отношению к амплитуде идеального изменяется в зависимости от амплитуды пика. Так как высокочастотный шум является неизменным во всех опытах, то с ростом абсолютной величины полезного сигнала отношение сигнал/шум также увеличивается, и чувствительность метода возрастает.

Уменьшение чувствительности алгоритма при увеличении ширины полезного сигнала (рис. 3) объясняется тем, что для удаления из сигнала низкочастотных составляющих, из которых, преимущественно, и состоит кривая остаточного тока, базисные функции большей ширины (несущие информа-

цию о низкочастотных процессах в сигнале) в процессе обратного преобразования умножаются на коэффициент ослабления, величина которого уменьшается с ростом ширины вейвлета. При увеличении ширины полезного сигнала его спектр смещается в область низких частот и во время обратного преобразования подвергается более сильному воздействию коэффициента ослабления, что и обуславливает продемонстрированное на графике уменьшение уровня полезного сигнала с ростом его ширины. Подобный же эффект будет наблюдаться при уменьшении ширины полезного сигнала ниже определенного уровня — спектр импульса сдвинется в область высоких частот и попадет под влияние фильтра, используемого для подавления высокочастотных возмущений.

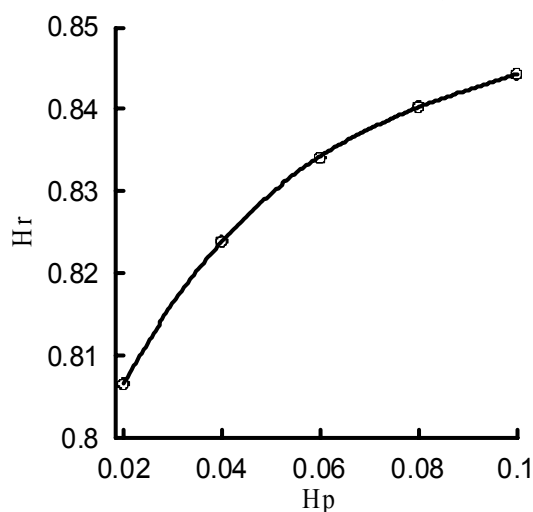
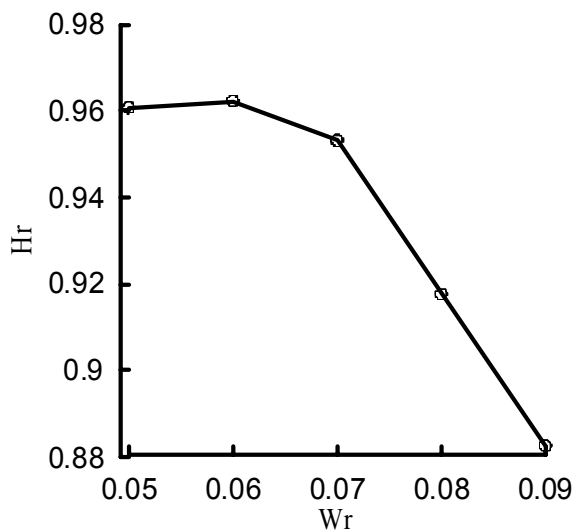


Рис. 2. Зависимость отношения амплитуд обработанного и идеального искусственного сигналов от относительной амплитуды искусственного сигнала;  $H_p$  — относительная амплитуда идеального сигнала;  $H_r$  — отношение амплитуд обработанного и искусственного сигналов

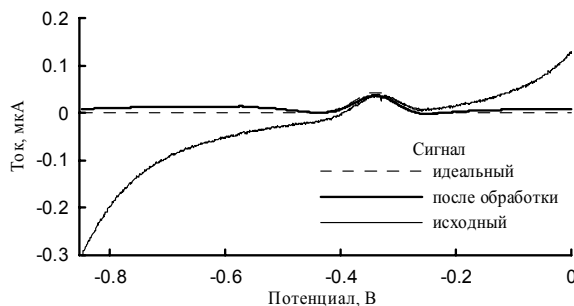
Реальные сигналы по своим частотным и временным характеристикам, как правило, укладываются в пределы полосы пропускания фильтров, и вносимые в них искажения можно компенсировать при помощи градуировочных графиков и поправочных коэффициентов.

Таким образом, разработан и реализован программными средствами алгоритм обработки сигналов ИВ, позволяющий осуществлять эффективную фильтрацию полезного сигнала от сложной по своему характеру составляющей остаточного тока и высокочастотных помех, рис. 4.



**Рис. 3.** Зависимость отношения амплитуд обработанного и искусственного сигналов от относительной ширины искусственного сигнала,  $W_r$  – относительная ширина сигнала

Конечным итогом развития данного метода предполагается автоматизация процесса анализа некоторых классов сигналов ИВ.



**Рис. 4.** Фильтрация сигнала при помощи последовательных прямого и обратного вейвлет-преобразований

Несмотря на достигнутые результаты, многие возможности фильтрации на основе вейвлет-преобразования остаются нереализованными. В частности, необходимо исследовать эффективность алгоритма в зависимости от формы сигнала (которая в реальном сигнале отличается от формы пика Гаусса), произвести анализ и сравнение эффективности различных базисных функций. Большое значение для последующего практического внедрения алгоритма имеет создание механизма корректировки обработанного сигнала на основе предварительно полученных данных зависимости искажений от параметров сигнала.

#### СПИСОК ЛИТЕРАТУРЫ

1. Шараф М.А., Иллмен Д.Л., Ковальски Б.Р. Хемомерика. – Л.: Химия, 1989. – 296 с.
2. Лэм Г. Аналоговые и цифровые фильтры. – М.: Мир, 1982. – 592 с.
3. Savitzky A., Galay M.J. Smoothing and differentiation of data by simplified least squares procedures // *Anal. Chem.* – 1964. – V. 36. – P. 1627–1639.
4. Джонсон К.Дж. Численные методы в химии. – М.: Мир, 1983. – 503 с.
5. Stroka A., Zaleska E., Gawet W. Numerical smoothing of analytical signal in voltammetric measurement // *Chem. Anal. (Warsaw)*. – 1998. – V. 43. – P. 897–903.
6. Chow C.W.K., Davey D.E., Mulcahy D.E. Signal filtering of potentiometric stripping analysis using Fourier techniques // *Anal. Chim. Acta.* – 1997. – V. 338. – P. 167–178.
7. Chow C.W.K., Davey D.E., Mulcahy D.E., Yeow T.C.W. Signal enhancement of potentiometric stripping analysis using digital signal processing // *Anal. Chim. Acta.* – 1995. – V. 307. – P. 15–26.
8. Астафьева Н.М. Вейвлет-анализ: основы теории и примеры применения // *Успехи физических наук.* – 1996. – Т. 166. – № 11. – С. 1145–1170.
9. Ehrentreich F. Wavelet transform applications in analytical chemistry // *Anal. Bioanal. Chem.* – 2002. – V. 372. – P. 115–121.
10. Jetter K., Depczynski U., Molt K., Niemoller A. Principles and applications of wavelet transformation to chemometrics // *Anal. Chim. Acta.* – 2000. – V. 420. – P. 169–180.
11. Интернет-страница АВТЭКС, СПб.: Теория и практика вейвлет-преобразования. – <http://www.autex.spb.ru/wavelet/>
12. Xueguang Shao, Chunyan Pang, Qingde Su. A novel method to calculate the approximate derivative photoacoustic spectrum using continuous wavelet transform // *Fresenius J. Anal. Chem.* – 2000. – V. 367. – P. 525–529.
13. Zou X., Mo J. Spline wavelet analysis for voltammetric signals // *Anal. Chim. Acta.* – 1997. – V. 340. – P. 115–121.
14. Ляхов А.Б. Сравнительный анализ математических методов подавления шума на поляризационных кривых // *Вестник Московского государственного университета. Серия 2. Химия.* – 2001. – Т. 42. – № 6. – С. 424–426.
15. Romanenko S.V., Stromberg A.G. Modeling of analytical peaks: Peaks properties and basic peak functions // *Anal. Chim. Acta.* – 2006. – V. 580. – P. 99–106.